

**ЭПР В РУБИНЕ В ПОСТОЯННОМ ЭЛЕКТРИЧЕСКОМ ПОЛЕ  
БЕЗ МАГНИТНОГО ПОЛЯ**

*А.А.Бугай, А.Б.Ройцин*

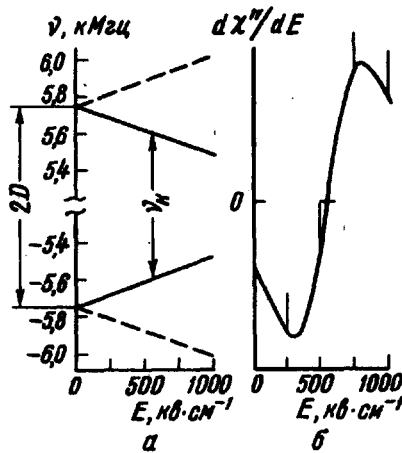
В отсутствие внешнего магнитного поля при включении внешнего постоянного электрического поля энергетические уровни иона  $\text{Cr}^{3+}$  в рубине описываются спин-гамильтонианом [ 1]:

$$\hat{H} = D \left[ \hat{S}_z^2 - \frac{1}{3} s(s+1) \right] + \sum_{i,j \leq k} \sum_{k=2} \frac{1}{R_{ijk}} E_i (s_j s_k + s_k s_j), \quad (1)$$

где  $s = 3/2$ ;  $D = -5746 \text{ МГц}$  [2];  $R$  – тензор содержит пять независимых компонент:  $R_{111}, R_{222}, R_{333}, R_{123}, R_{113}$ . Выбор осей координат совпадает с принятым в [1]. В частности, ось  $z$  совпадает с кристаллографической осью  $c$ .

Из (1) видно, что частота перехода  $\nu$  между двумя крамерсовыми дублетами зависит, вообще говоря, от величины и направления внешнего электрического поля  $E$ . Объявляя второе слагаемое в (1) возмущением по отношению к первому, получаем с точностью до первого порядка теории возмущений:

$$\nu = 2 |D| \pm 3 |R_{333}| E_z. \quad (2)$$



- а.** Энергетические уровни ионов хрома в рубине в постоянном электрическом поле (внешнее магнитное поле отсутствует). Сплошные линии – верхний и нижний крамерсовы дублеты для одного из неэквивалентных положений иона хрома, пунктирные линии – для другого неэквивалентного положения,  $\nu_k$  – частота СВЧ колебаний, на которой наблюдался сигнал ЭПР, изображенный на соседнем рисунке
- б.** Сигнал ЭПР, записанный на самописце при развертке электрического поля от 0 до  $1000 \text{ кв. см}^{-1}$

Разные знаки в (2) соответствуют двум неэквивалентным положениям иона  $\text{Cr}^{3+}$ , связанным друг с другом преобразованием инверсии. На рисунке(а) приведена зависимость положения энергетических уровней иона  $\text{Cr}^{3+}$  от поля  $E$ . Зависимость положения энергетических уровней от элек-

трического поля позволяет наблюдать линию ЭПР в нулевом внешнем магнитном поле при развертке внешнего электрического поля.

Эксперимент для наблюдения линии ЭПР без внешнего магнитного поля проводился на спектрометре ЭПР прямого усиления с клистроном, работающим в диапазоне от 11 до 12  $\text{кМгц}$ . Для повышения чувствительности электрическое поле модулировалось с частотой 680  $\text{гц}$  (амплитуда модуляции могла изменяться). Сигнал усиливался узкополосным усилителем и после синхронного детектирования на частоте модуляции записывался на самописце. Образец рубина с концентрацией хрома около 0,5% был вырезан в виде пластинки  $13 \times 8 \times 0,2 \text{ мм}$ , плоскость среза перпендикулярна оси  $c$ . Источник высокого напряжения позволял получать напряжение до 20  $\text{кв}$ , поэтому максимальная напряженность электрического поля в образце могла достигать  $10^6 \text{ в} \cdot \text{см}^{-1}$ . Прозрачные для СВЧ электроды наносились непосредственно на обе поверхности образца. Образец помещался вдоль оси цилиндрического резонатора  $H_{011}$ . Напряжение, прикладываемое к образцу, плавно изменялось от нуля до 20  $\text{кв}$  в течение нескольких минут.

На рисунке (б) приведена фотография одного из полученных сигналов ЭПР.

Благодаря модуляции электрического поля и синхронному детектированию, сигнал записывается в виде производной. В данном эксперименте частота СВЧ колебаний равнялась 11206  $\text{Мгц}$ . Центр линии ЭПР соответствует электрическому полю  $548 \text{ кв} \cdot \text{см}^{-1}$ . Из (2) сразу определяется  $R_{333} = 0,173 \pm 0,006 \text{ Мгц}$  на  $\text{кв} \cdot \text{см}^{-1}$ , что в пределах ошибки эксперимента совпадает с величиной этого параметра, найденной в [1]. Ширина линии ЭПР в точках максимального наклона около  $500 \text{ кв} \cdot \text{см}^{-1}$ , или, согласно (2), 270  $\text{Мгц}$ . Положение центра линии в электрическом поле меняется в зависимости от частоты СВЧ колебаний, как и следует из (2). Форма линии ЭПР, приведенной на рисунке (б), лоренцева.

Ширина и форма линии ЭПР, по-видимому, определяются распределением величин параметра  $D$  в кристалле [3]. Полученная нами полуширина линии ЭПР соответствует полуширине кривой распределения  $D$  в кристалле, равной 135  $\text{Мгц}$ . Это значительно больше, чем величина, полученная на основе анализа причин уширения обычных линий ЭПР в рубине [3]. Различие может быть обусловлено тем, что наш эксперимент проводился на образцах с гораздо большей концентрацией и очень неоднородным распределением в объеме кристалла иона хрома.

В заключение отметим, что при помощи предложенной нами методики, можно, в частности, непосредственно определить константу  $D$ . Для этого необходимо при нескольких значениях  $\nu$  найти резонансное поле  $E$ . Полученная нами таким образом константа близка к известным в литературе.

Выражаем благодарность М.Ф.Дейгену за обсуждение результатов, П.Т.Левковскому, В.М.Максименко и Л.И.Бережинскому за техническую помощь.

## Литература

- [1] E.B.Royce, N.Bloembergen. Phys.Rev., 131, 1912, 1963.
- [2] E.O.Schulz-DuBois. Bell Syst. Techn. J., 38, 271, 1959.
- [3] R.F.Wenzel, Y.W.Kim. Phys. Rev., 140, A1592, 1965.